

O Método de Diferenças Finitas

Andréa Maria Pedrosa Valli

Laboratório de Computação de Alto Desempenho (LCAD)
Departamento de Informática
Universidade Federal do Espírito Santo - UFES, Vitória, ES, Brasil

O Método de Diferenças Finitas

- 1 Potencial Elétrico em Regime Estacionário
- 2 Discretização por Diferenças Finitas
- 3 Cálculo do Potencial em 1D e 2D
- 4 Aplicação

O cálculo do **potencial elétrico** V e do **campo elétrico** \vec{E} satisfazem, respectivamente, as equações:

$$\nabla \cdot (-\nabla V) = f \quad (1)$$

$$\vec{E} = -\nabla V \quad (2)$$

onde f é uma **distribuição de cargas** conhecida. Sendo assim, o potencial elétrico $V(x, y)$ satisfaz a seguinte **equação de Poisson** em duas dimensões:

$$-\Delta V = -\left(\frac{\partial^2 V}{\partial x^2} + \frac{\partial^2 V}{\partial y^2}\right) = f(x, y) \quad (3)$$

Para resolver a equação de Poisson em uma região Ω é preciso definir condições de contorno. Vamos considerar **condições de contorno** do tipo Dirichlet ($V = V_f$ em $\partial\Omega_1$) e Neumann ($\frac{\partial V}{\partial \mathbf{n}} = 0$ em $\partial\Omega_2$).

O potencial elétrico V satisfaz a [equação de Poisson](#) sujeita a condições de contorno:

$$-\Delta V = f \quad \text{no domínio } \Omega \quad (4)$$

$$V = V_f \quad \text{na fronteira } \partial\Omega_1 \quad (5)$$

$$\nabla V \cdot \mathbf{n} = \frac{\partial V}{\partial \mathbf{n}} = 0 \quad \text{na fronteira } \partial\Omega_2 \quad (6)$$

Desejamos obter potencial elétrico V e campo elétrico \vec{E} no interior de um domínio Ω pelo [método das diferenças finitas](#).

Série de Taylor de $u(x)$ em torno do ponto x :

$$u(x+h) = u(x) + h u'(x) + \frac{h^2}{2!} u''(x) + \frac{h^3}{3!} u'''(x) + \frac{h^4}{4!} u^{(4)}(x) + \dots \quad (7)$$

$$u(x-h) = u(x) - h u'(x) + \frac{h^2}{2!} u''(x) - \frac{h^3}{3!} u'''(x) + \frac{h^4}{4!} u^{(4)}(x) + \dots \quad (8)$$

Aproximações para $u'(x)$ por diferenças finitas:

- (7) \Rightarrow $u'(x) = \frac{u(x+h)-u(x)}{h} + \mathcal{O}(h)$ (adiantada)
- (8) \Rightarrow $u'(x) = \frac{u(x)-u(x-h)}{h} + \mathcal{O}(h)$ (atrasada)
- (7) - (8) \Rightarrow $u'(x) = \frac{u(x+h)-u(x-h)}{2h} + \mathcal{O}(h^2)$ (central)

Aproximação para $u''(x)$ por diferenças finitas:

$$(7) + (8) \Rightarrow u''(x) = \frac{u(x+h) - 2u(x) + u(x-h)}{h^2} + \mathcal{O}(h^2) \quad (\text{central})$$

Equação do potencial para $x \in \Omega = (0, L)$

$$-\frac{d^2 V}{dx^2} = f \quad \text{em } \Omega \quad (9)$$

$$V = g \quad \text{em } \partial\Omega \quad (10)$$

Discretização por **diferenças finitas centrais** no ponto x_i

$$-\frac{V(x_i + h) - 2V(x_i) + V(x_i - h)}{h^2} = f(x_i)$$

onde $h = \frac{L}{n+1}$ é o número de subintervalos em $[0, L]$. Sendo assim, temos $(n+2)$ pontos no domínio $[0, L]$, $x_i = x_0 + i h$, $i = 1, 2, \dots, n$.

$$-\frac{V_{i+1} - 2V_i + V_{i-1}}{h^2} = f_i \quad \rightarrow \quad aV_{i+1} + bV_i + cV_{i-1} = \bar{f}_i$$

onde $a = c = -1$, $b = 2$ e $\bar{f}_i = h^2 f_i$.

Equação de Poisson para $(x, y) \in \Omega = (0, L) \times (0, H)$

$$-\left(\frac{\partial^2 V}{\partial x^2} + \frac{\partial^2 V}{\partial y^2}\right) = f(x, y) \quad \text{em } \Omega \quad (11)$$

$$V(x, y) = g(x, y) \quad \text{em } \partial\Omega \quad (12)$$

Discretização por **diferenças finitas centrais** no ponto (x_i, y_j)

$$\frac{V(x_i + h_x, y_j) - 2V(x_i, y_j) + V(x_i - h_x, y_j)}{h_x^2} + \frac{V(x_i, y_j + h_y) - 2V(x_i, y_j) + V(x_i, y_j - h_y)}{h_y^2} = -f(x_i, y_j)$$

onde $h_x = \frac{L}{nx+1}$, $h_y = \frac{H}{ny+1}$, $(nx + 1)$ é o número de subintervalos em $[0, L]$ e $(ny + 1)$ é o número de subintervalos em $[0, H]$. Sendo assim, temos $(nx + 2) \times (ny + 2)$ pontos no domínio $[0, L] \times [0, H]$,

$$x_i = x_0 + i h_x, \quad i = 1, 2, \dots, nx$$

$$y_j = y_0 + j h_y, \quad j = 1, 2, \dots, ny$$

Notação:

$$V_{ij} = V(x_i, y_j), \quad f_{ij} = f(x_i, y_j) = f(ih_x, jh_y)$$

$$V_{i-1, j+1} = V(x_i - h_x, y_j + h_y)$$

A discretização da equação de Poisson por **diferenças finitas centrais** para $i = 1, 2, \dots, nx, j = 1, 2, \dots, ny$ pode ser escrita da forma

$$\frac{V_{i+1, j} - 2V_{ij} + V_{i-1, j}}{h_x^2} + \frac{V_{i, j+1} - 2V_{ij} + V_{i, j-1}}{h_y^2} = -f_{ij}$$

$$\Rightarrow a V_{i+1, j} + b V_{i-1, j} + c V_{i, j+1} + d V_{i, j-1} + e V_{ij} = \bar{f}_{ij}$$

onde

$$a = b = h_y^2, \quad c = d = h_x^2, \quad e = -2(h_x^2 + h_y^2), \quad \bar{f}_{ij} = -h_x^2 h_y^2 f_{ij}$$

Cálculo do **campo elétrico**:

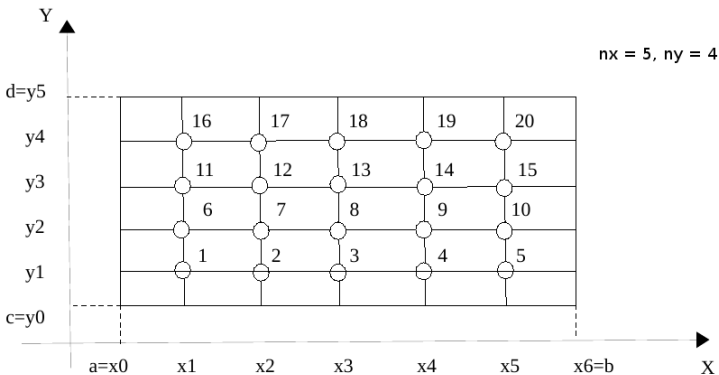
$$\vec{E} = -\nabla V = - \left(\frac{V_{i+1, j} - V_{i-1, j}}{2 h_x}, \frac{V_{i, j+1} - V_{i, j-1}}{2 h_y} \right)^T$$

Malha de diferenças finitas considerando apenas condições de fronteira do tipo Dirichlet:

$$a V_{i+1,j} + b V_{i-1,j} + c V_{i,j+1} + d V_{i,j-1} + e V_{ij} = \bar{f}_{ij}$$

$$a V_{p+1} + b V_{p-1} + c V_{p+nx} + d V_{p-nx} + e V_p = \bar{f}_p,$$

$$p = 1, 2, \dots, nx \, ny$$



$$a V_{p+1} + b V_{p-1} + c V_{p+nx} + d V_{p-nx} + e V_p = \bar{f}_p$$

onde $p = 1, 2, \dots, 20$

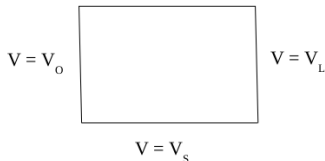
e	a	0	0	0	c	0	0	0	0	0	0	0	0	0	0	0	0	0	0
b	e	a	0	0	0	c	0	0	0	0	0	0	0	0	0	0	0	0	0
0	b	e	a	0	0	0	c	0	0	0	0	0	0	0	0	0	0	0	0
0	0	b	e	a	0	0	0	c	0	0	0	0	0	0	0	0	0	0	0
0	0	0	b	e	0	0	0	0	c	0	0	0	0	0	0	0	0	0	0
d	0	0	0	0	e	a	0	0	0	c	0	0	0	0	0	0	0	0	0
0	d	0	0	0	b	e	a	0	0	0	c	0	0	0	0	0	0	0	0
0	0	d	0	0	0	b	e	a	0	0	0	c	0	0	0	0	0	0	0
0	0	0	d	0	0	0	b	e	a	0	0	0	c	0	0	0	0	0	0
0	0	0	0	d	0	0	0	b	e	0	0	0	0	c	0	0	0	0	0
0	0	0	0	0	d	0	0	0	0	e	a	0	0	0	c	0	0	0	0
0	0	0	0	0	0	d	0	0	0	b	e	a	0	0	0	c	0	0	0
0	0	0	0	0	0	0	d	0	0	0	b	e	a	0	0	0	c	0	0
0	0	0	0	0	0	0	0	d	0	0	0	b	e	a	0	0	0	c	0
0	0	0	0	0	0	0	0	0	d	0	0	0	b	e	a	0	0	0	c
0	0	0	0	0	0	0	0	0	0	d	0	0	0	0	e	a	0	0	0
0	0	0	0	0	0	0	0	0	0	0	d	0	0	0	b	e	a	0	0
0	0	0	0	0	0	0	0	0	0	0	0	d	0	0	0	b	e	a	0
0	0	0	0	0	0	0	0	0	0	0	0	0	d	0	0	0	b	e	a
0	0	0	0	0	0	0	0	0	0	0	0	0	0	d	0	0	0	b	e

20 × 20

Tratamento das Condições de Contorno do tipo **Dirichlet**:

$$a V_{p+1} + b V_{p-1} + c V_{p+nx} + d V_{p-nx} + e V_p = \bar{f}_p$$

$$\partial V / \partial n = 0$$



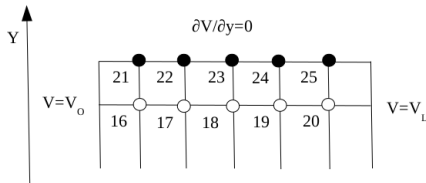
$p = 1$	$eV_1 + aV_2 + cV_6$	$= \bar{f}_1 - dV_5 - bV_0$
$p = 2$	$bV_1 + eV_2 + aV_3 + cV_7$	$= \bar{f}_2 - dV_5$
$p = 3$	$eV_2 + bV_1 + aV_3 + cV_8$	$= \bar{f}_3 - dV_5$
$p = 4$	$eV_2 + bV_1 + aV_3 + cV_9$	$= \bar{f}_4 - dV_5$
$p = 5$	$bV_4 + eV_5 + cV_{10}$	$= \bar{f}_5 - dV_5 - aV_L$
$p = 6$	$dV_1 + eV_6 + aV_7 + cV_{11}$	$= \bar{f}_6 - bV_s$
$p = 7$	$dV_2 + bV_6 + eV_7 + aV_8 + cV_{12}$	$= \bar{f}_7$
$p = 8$	$dV_3 + bV_7 + eV_8 + aV_9 + cV_{13}$	$= \bar{f}_8$
$p = 9$	$dV_4 + bV_8 + eV_9 + aV_{10} + cV_{14}$	$= \bar{f}_9$
$p = 10$	$dV_5 + bV_9 + eV_{10} + cV_{15}$	$= \bar{f}_{10} - aV_L$

...

Tratamento das Condições de Contorno do tipo **Neumann**:

$$\frac{\partial V}{\partial y} = \frac{V_{i,j+1} - V_{i,j-1}}{2h_y} = 0, \Rightarrow V_{i,j+1} = V_{i,j-1}$$

$$a V_{p+1} + b V_{p-1} + c V_{p+nx} + d V_{p-nx} + e V_p = \bar{f}_p$$



$p = 21$	$aV_{22} + (c + d)V_{16} + eV_{21}$	$= \bar{f}_{21} - bV_0$
$p = 22$	$aV_{23} + bV_{21} + (c + d)V_{17} + eV_{22}$	$= \bar{f}_{22}$
$p = 23$	$aV_{24} + bV_{22} + (c + d)V_{18} + eV_{23}$	$= \bar{f}_{23}$
$p = 24$	$aV_{25} + bV_{23} + (c + d)V_{19} + eV_{24}$	$= \bar{f}_{24}$
$p = 25$	$bV_{24} + (c + d)V_{20} + eV_{25}$	$= \bar{f}_{25} - aV_L$

Telecomunicações: linhas de transmissão de microfitas [3]

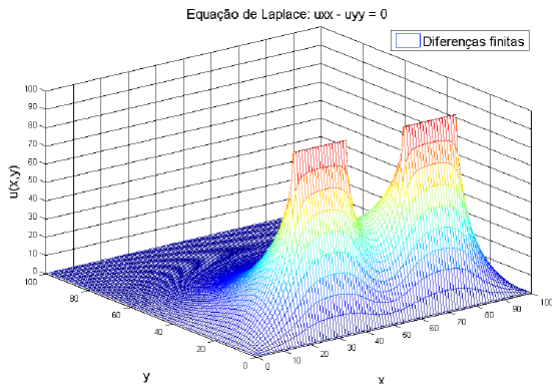


Figura: Distribuição tridimensional do potencial elétrico para uma permissividade elétrica do substrato igual ao do meio.

Telecomunicações: linhas de transmissão de microfitas [3]

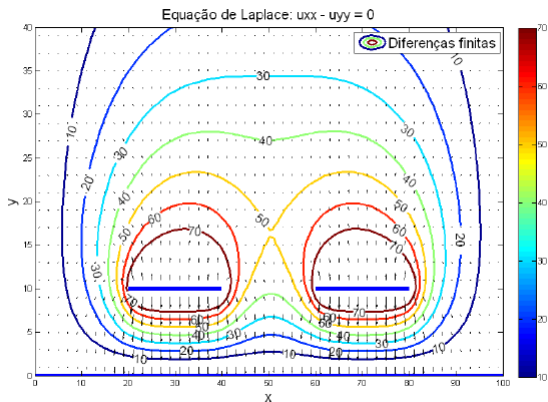


Figura: Linhas equipotenciais e distribuição do campo elétrico para uma permissividade elétrica do substrato igual ao do meio.

Telecomunicações: linhas de transmissão de microfitas [3]

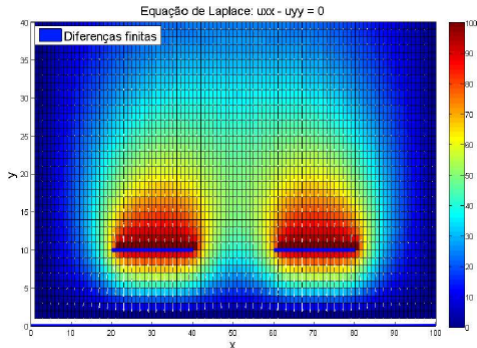


Figura: Distribuição do campo elétrico e do potencial elétrico para uma permissividade elétrica do substrato igual ao do meio.

Bibliografia

1. Métodos Numéricos para Engenharia, Steven C. Chapa e Raymond P. Canale, Ed. McGraw-Hill, 5ª Ed., 2008.
2. Computacional Modeling with Methods and Analysis, White, R.E., 2003.
3. APLICAÇÃO DO MÉTODO DAS DIFERENÇAS FINITAS PARA SOLUÇÃO DAS EQUAÇÕES DE LAPLACE E POISSON PARA LINHAS DE MICROFITAS ACOPLADAS, Rayann Pablo de Alencar AZEVEDO; Ícaro Bezerra de Queiroz ARAÚJO; Eliel Poggi dos SANTOS; Paulo Henrique da FONSECA SILVA.